

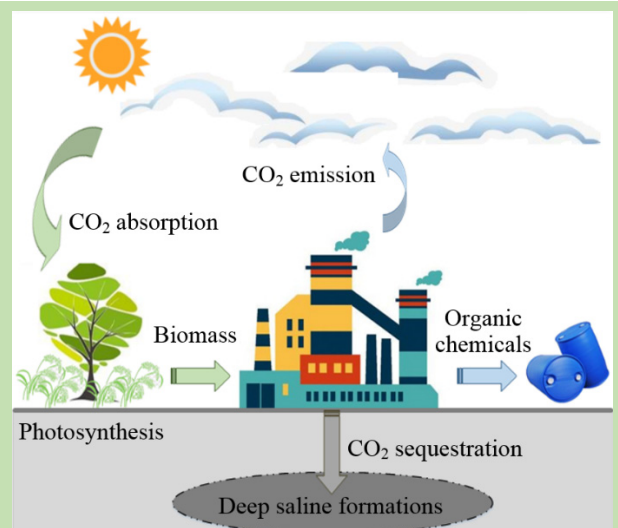
Simulation and techno-economic analysis of CO₂ capture during biomass-to-methanol

Shiying YANG*, Jingwei ZHENG, Baoxia LI

College of Chemical Engineering, Huaqiao University, Xiamen, Fujian 361021, China

Abstract: China ranks first in methanol production around the world, occupying approximately 50% of the global production. But the dominant coal-to-methanol technology in China suffers from serious CO₂ emission, which aggravates the global climate change. On the other hand, the development of biomass-to-methanol technology provides a method to reduce the CO₂ emission of methanol production from sources, as the biomass feedstock is carbon neutral. And the application of CO₂ capture and storage technology to biomass-to-methanol can further propose a low-cost way to capture, utilize and partially sequester CO₂ from the atmosphere indirectly. In this work, the CO₂ capture process in biomass-to-methanol production was conceptually designed and simulated by using ASPEN PLUS software. A Rectisol process integrated with a CO₂ capture unit was provided. A techno-economic analysis was carried out to reveal the cost of different CO₂ capture ratio and the effect on the biomass-to-methanol production. The results showed that moderately increased CO₂ capture ratio could reduce the average cost per unit of CO₂ capture, but excessive CO₂ capture could also lead to a sharp increase in consumption and cost. 85% of CO₂ capture was the most cost-effective choice for biomass-to-methanol. It indicated energy consumption of 453 MJ/t CO₂, water consumption of 193 kg/t CO₂, and cost of 135 CNY/t CO₂, which were much lower than that of directly collecting CO₂ from the atmosphere. The total production cost of methanol would also increase by 154 CNY/t, because of the CO₂ capture and storage, and had a greater effect on the economic benefits of the biomass-to-methanol system. Therefore, policy-related subsidies were urgently needed. The cost of CO₂ capture and storage in biomass-to-methanol could be offset when the subsidy of carbon abatement was around 40~50 CNY/t CO₂. And once the subsidy was higher than 100 CNY/t CO₂, the total production cost of biomass-to-methanol could be reduced to the same level as conventional coal-to-methanol.

Key words: biomass; methanol; carbon capture and storage; process simulation



收稿: 2019-03-29, 修回: 2019-05-26, 网络发表: 2019-07-02, Received: 2019-03-29, Revised: 2019-05-26, Published online: 2019-07-02

基金项目: 华侨大学高层次人才科研启动基金(编号: 16BS703)

作者简介: 杨时颖(1988-), 男, 广东省潮州市人, 博士, 讲师, 化学工程专业, Tel: 15080319202, E-mail: y.shiying@hqu.edu.cn.

引用格式: 杨时颖, 郑经纬, 李宝霞. 生物质制甲醇系统 CO₂捕集过程的设计模拟及技术经济性分析. 过程工程学报, 2019, 19(6): 1250-1256.

Yang S Y, Zheng J W, Li B X. Simulation and techno-economic analysis of CO₂ capture during biomass-to-methanol (in Chinese). Chin. J. Process Eng., 2019, 19(6): 1250-1256, DOI: 10.12034/j.issn.1009-606X.219168.

生物质制甲醇系统CO₂捕集过程的设计模拟及技术经济性分析

杨时颖*, 郑经纬, 李宝霞

华侨大学化工学院, 福建 厦门 361021

摘要:通过ASPEN PLUS过程系统建模模拟,设计了生物质制甲醇系统中CO₂的捕集工艺流程,并分析了其技术经济性能,研究了不同CO₂捕集率的成本及其对生物质制甲醇能耗、水耗的影响。结果表明,捕集率为85%时生物质制甲醇系统CO₂捕集封存较佳,单位捕集量的成本最低,有效能耗为453 MJ/t、水耗为193 kg/t、成本为135元/t,远低于直接从大气中捕集CO₂。虽然这将使生物质制甲醇的生产成本增加154元/t,但当CO₂减排补贴价格为40~50元/t时,则可抵消该部分成本增量。

关键词:生物质; 甲醇; 碳捕集与封存; 流程模拟

中图分类号: TK6 文献标识码: A 文章编号: 1009-606X(2019)06-1250-07

1 前言

化石燃料的开发利用导致大量CO₂排放,将增加大气中CO₂浓度,加剧温室效应。因此,CO₂的减排研究已成为全球焦点。如2017年瑞士建立了世界上首座从大气中直接吸附捕集CO₂的示范装置,每年可捕集900 t CO₂,但该技术运行成本非常高,超过200瑞郎/t(约1350元/t)^[1]。

我国甲醇产量居世界首位^[2],其中煤制甲醇为主要制备方式^[3],CO₂排放量达1.9~2.5 t/t甲醇^[4-6]。而生物质制甲醇则提供了一种从源头减少CO₂排放且可持续生产甲醇的方案^[7,8]。生物质原料^[9-11]具有可再生性,其所含碳元素皆来自短期植物生长过程中从大气吸收的CO₂,而非地质固定碳,如图1所示。因此,其转化过程排放的CO₂并不会增加大气CO₂浓度,加剧温室效应,可视为“碳中性”。这使生物质热化学转化制甲醇引起国内外关注,其技术经济性能逐渐得到论证^[12,13],潘贤齐等^[14]进行了多项生物质气化制甲醇/二甲醚的中试实验。

生物质制甲醇过程中CO₂排放主要在生物质源合成气净化工段,该工段通过物理吸收法脱除合成气中的H₂S和CO₂等酸性气体,典型工艺如低温甲醇洗法(Rectisol)和聚乙二醇二甲醚法(Selexol)^[13,15]。该系统排放的生物源CO₂因具有碳中性的特点,不增加大气中CO₂浓度,可认为近乎零CO₂排放。而若在净化工段引入CO₂捕集流程,对CO₂捕集纯化、液化封存,可实现制甲醇过程CO₂负排放,并可能形成一种低成本、间接从大气环境中捕集利用并部分封存CO₂的模式。

Liu等^[16]设计了煤制甲醇Rectisol净化工段的CO₂捕集流程并研究其性能,结果表明捕集单位CO₂需增加总能耗约930 MJ/t、成本约150元/t。Gatti等^[17]对煤制油系统单级和双级Rectisol过程中CO₂捕集进行建模并

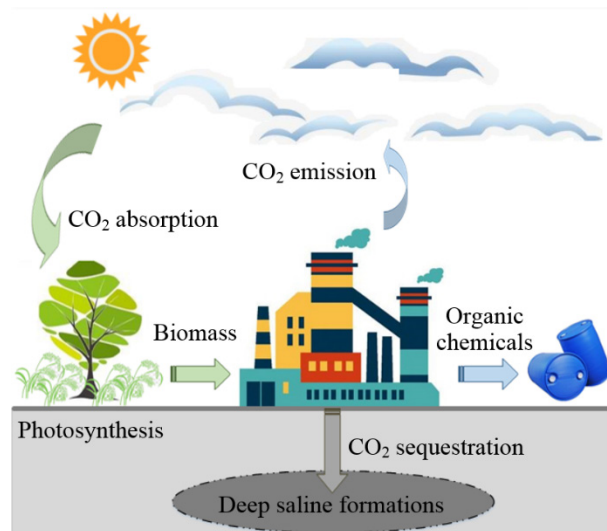


图1 生物质化工的碳元素代谢示意图
Fig.1 Schematic diagram metabolism of carbon in biomass chemical engineering

研究其热集成,实现CO₂捕集率约98%,但有效能耗高达714 MJ/t。Porter等^[18]对比了煤电厂燃烧前捕集CO₂的Rectisol和Selexol工艺的技术经济性,发现Selexol工艺成本较低,但所得CO₂纯度较低且含H₂S杂质较多,而Rectisol工艺捕集CO₂纯度较高($\geq 99.5\text{mol}\%$),根据工艺和优化条件不同,实现95%捕集率成本约为170~500元/t。Gao等^[19]优化了煤制甲醇Rectisol工段中CO₂捕集过程,使92%CO₂捕集率的有效能耗降至388 MJ/t,但未考虑CO₂的后续压缩液化能耗。

目前对生物质制甲醇系统CO₂捕集封存过程研究较少,其对甲醇生产能耗、水耗和成本的影响有待确定。本工作通过过程系统建模,设计了生物质制甲醇系统中捕集CO₂流程,并分析了其技术经济性。通过研究CO₂捕集率对生物质制甲醇的影响,从碳捕集角度探讨了生物质制甲醇的技术竞争力。

2 过程模型及方法

2.1 无 CO₂捕集的生物质制甲醇系统案例

该案例见前期研究^[13], 系统以秸秆为原料, 处理量为 120 t/h, 装置年运行时间 7200 h。用 Carbo-V 气流床气化炉(德国 CHOREN 公司)^[20]热解气化, 所产生物质

源合成气经冷却、洗涤, 通过水汽变换反应调节 H₂/CO 摩尔比。Rectisol 工段脱除合成气中的酸性气体, H₂S 送往克劳斯工段回收硫单质。净化后的合成气进入合成工段反应生成甲醇产品, 尾气用于燃烧发电及供热。案例系统流程见图 2, 主要技术经济性数据见表 1。

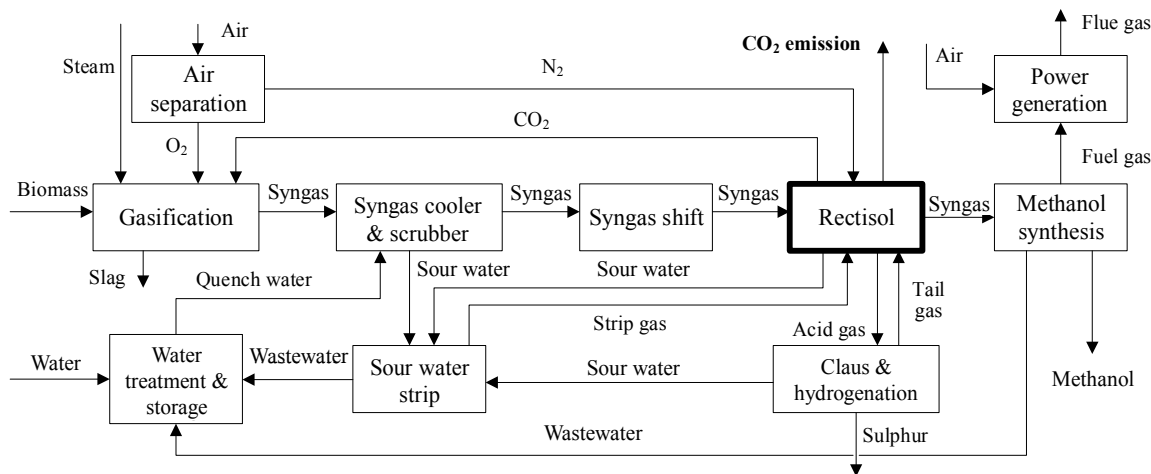


图 2 无 CO₂ 捕集的生物质制甲醇系统流程示意图^[13]

Fig.2 Flow diagram of biomass-to-methanol process without CO₂ capture^[13]

表 1 无 CO₂ 捕集的生物质制甲醇系统参数^[13]

Table 1 Parameters of the biomass-to-methanol process without CO₂ capture^[13]

Parameter	Value
Biomass consumption/(t/t)	1.99
Methanol yield/(mol/kg) (dry)	18.5
Electricity consumption/(kW·h/t)	170
Water consumption/(t/t)	5.88
Carbon utilization efficiency/%	47.4
CO ₂ emission/(t/t)	1.46
Operation cost/(CNY/t)	1028
Production cost/(CNY/t)	2056~2284

2.2 Rectisol 工段中 CO₂ 捕集模块的设计及建模

改造生物质制甲醇的原有 Rectisol 工段以单独捕集 CO₂。原 Rectisol 工段流程模型及数据见文献^[13], 待处理生物质源合成气流量为 9943 kmol/h, 组成见表 2。

本研究对该工段加入 CO₂ 分离捕集模块, 采用通用化工流程模拟软件 ASPEN PLUS V8.4^[21]建模, 进行模拟, 模拟流程及模块见图 3 及表 3。物性计算采用 PSRK(Predictive Soave-Redlich-Kwong)方程^[13]。

表 2 待处理生物质源合成气的组成

Table 2 Composition of the syngas sent to Rectisol

Composition	N ₂	Ar	CO	CO ₂	H ₂	CH ₄	H ₂ S	H ₂ O
Content/mol%	0.011	0.003	0.201	0.336	0.443	0.005	350×10 ⁻⁶	340×10 ⁻⁶

待处理合成气冷却至-21℃后, 送入 H₂S 吸收塔中于 3.5 MPa 下吸收其中的 H₂S, 再送入 CO₂ 吸收塔中与来自塔顶-50℃的贫甲醇溶液接触, 吸收其中的 CO₂, 所得净化气(CO₂ 摩尔含量约 2%且 H₂S 摩尔含量小于 1×10^{-6})送往合成工段。贫甲醇溶液摩尔流量为合成气处理量的 0.8~1.0 倍。CO₂吸收塔所得富 CO₂ 甲醇溶液 40% 送往 H₂S 吸收塔顶, 其余在 0.8 MPa 下闪蒸回收 H₂ 和 CO 后, 冷却至-21℃送入第二级闪蒸回收部分 CO₂ 供气化工段使用^[13]。闪蒸后的富 CO₂ 甲醇溶液冷却至-55℃, 送入 CO₂ 解吸塔顶混合区(B1, 图 3 虚线框中)。

H₂S 吸收塔所得富 H₂S 甲醇溶液冷却至-34℃, 在 0.7 MPa 下闪蒸回收 H₂ 和 CO 并压缩送回 H₂S 吸收塔, 剩余的经预热(B2)后, 送入 CO₂ 解吸塔(B3)中段。

富 CO₂ 甲醇溶液进入 CO₂ 解吸塔顶混合区(B1), 与来自下层(B3)的气相进行混合。所得液相通过分流器(B4)部分采出, 经冷却(B5)后送往下游 CO₂ 汽提塔顶, 其余作为 CO₂ 解吸塔(B3)的液相回流(图 3 虚线框中)。塔底通过再沸器在 0.3 MPa 下解吸甲醇溶液中的 CO₂, 液相采出经冷却(B6)后也送往下游 CO₂ 汽提塔。

通过该 CO₂ 解吸塔 B3 的塔底液相采出量和塔顶 B4

的回流比,可调节CO₂捕集量。捕集的CO₂(CO₂摩尔含量大于99.5%且H₂S摩尔含量小于20×10⁻⁶)由塔顶排出,经多级压缩(B7)至15 MPa后,冷凝液化(B8)并送往封存。优化预热器(B2)和冷却器(B5/B6)的温度可降低相应过程的能耗。

下游CO₂汽提塔在0.2 MPa下通过N₂汽提脱除甲醇溶液中剩余CO₂,夹杂N₂的CO₂废气排入大气。塔底甲醇溶液则送往H₂S解吸塔,再沸深度脱除H₂S,塔顶H₂S酸气送往克劳斯硫回收工段,而塔底贫甲醇部分精馏脱水,循环回到CO₂吸收塔。

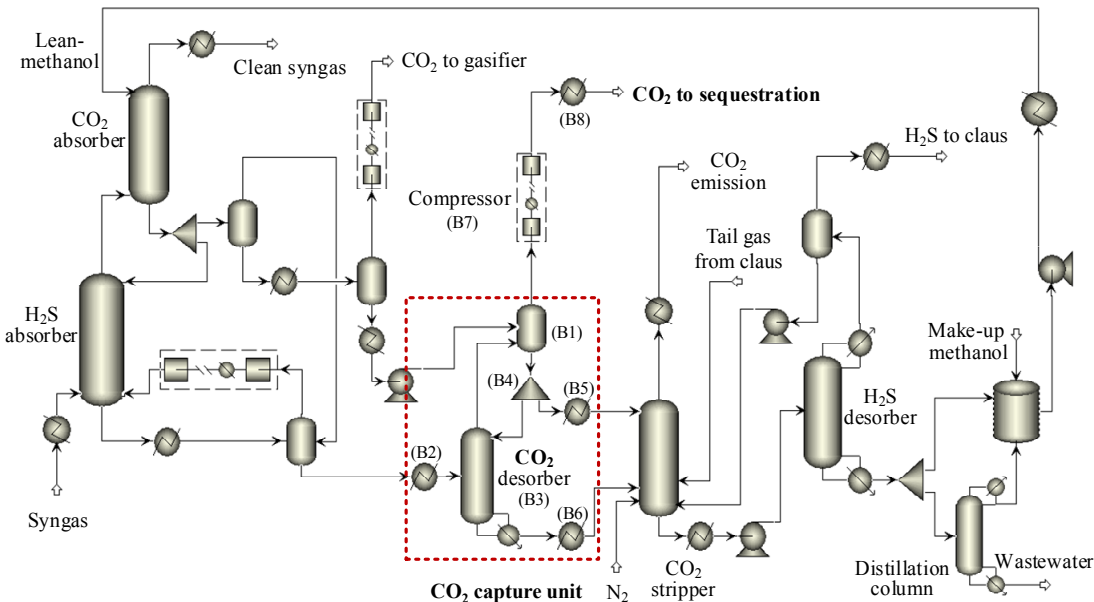


图3 基于 ASPEN PLUS 软件新增 CO₂ 捕集过程的低温甲醇洗工段流程示意图

Fig.3 Flow diagram of Rectisol integrated with CO₂ capture unit in ASPEN PLUS

表3 CO₂捕集过程模块
Table 3 Models for the CO₂ capture unit

Label	Description	Model in the ASPEN PLUS
B1	Overhead mixer	Flash 2 (heat duty=0)
B2	Pre-heater	Heater
B3	CO ₂ desorption column	RadFrac (condenser=none, stages=16)
B4	Overhead splitter	FSplit
B5/B6	Chiller	Heater
B7	Multistage compressor	Mcompr (stages=3)
B8	Condenser	Heater

2.3 CO₂捕集模块的能耗、水耗及成本计算模型

CO₂捕集模块(B1~B8)增加了原生物质制甲醇系统的能耗,主要包括压缩机功耗、低温制冷及再沸器供热等。通过夹点热集成减少公用工程消耗,所需公用热工程采用低压蒸汽,公用冷工程采用制冷循环。CO₂捕集增加的总有效能(熵)耗E_x计算如下:

$$E_x = Q_{\text{steam}}\eta + Q_{\text{cool}}\varphi + Q_{\text{chill}}/\zeta + E_{\text{compr}} \quad (1)$$

式中,Q_{steam}为低压蒸汽热负荷(kW), $\eta=0.314$ 为卡诺效率, Q_{cool} 为冷却水热负荷(kW), $\varphi=8.5\times10^{-3}$ 为冷却水循环泵的功耗系数, Q_{chill} 为制冷负荷(kW), $\zeta=2.4$ 为制冷系数, E_{compr} 为压缩机功耗(kW)。

新增CO₂捕集模块使系统循环冷却水负荷增加,由

此增加的水耗W计算如下:

$$W = Q_{\text{cool}}\theta/\omega \quad (2)$$

式中, $\omega=60\text{ MJ/t}$ 为冷却水的冷却能力, $\theta=3\%$ 为循环水系统的水损耗率。

生物质制甲醇系统捕集封存CO₂增加的成本包括设备成本、操作成本及液化CO₂的后续运输及封存成本。CO₂捕集模块流程短、设备简单,设备成本与生物质制甲醇系统相比所占比例小,可忽略,CO₂捕集总成本C如下:

$$C = Q_{\text{steam}}V_{\text{steam}}/\varepsilon + (Q_{\text{cool}}\varphi + Q_{\text{chill}}/\zeta + E_{\text{compr}})V_{\text{elec}} + WV_{\text{water}} + FV_{\text{seq}} \quad (3)$$

式中, $V_{\text{steam}}=150\text{ 元/t}$, $V_{\text{elec}}=0.75\text{ 元/kW}\cdot\text{h}$, $V_{\text{water}}=1.0\text{ 元/t}$,

分别为低压蒸汽、电和水的单价, $\varepsilon=2.2 \text{ GJ/t}$ 为蒸汽的供热能力, F 为 CO_2 捕集量, V_{seq} 为液化 CO_2 的后续运输及封存成本, 根据刘佳佳等^[22]的研究, 假设经 400 km 管道运输送至地下 2 km 深处地质封存, 平均成本约 40 元/t。

3 结果与讨论

该生物质制甲醇案例年产甲醇 43.5 万 t, 其中原合成气净化工段每年排放生物源 CO_2 58.4 万 t。在净化工段加入 CO_2 捕集模块, 根据捕集率不同, 可实现不同的 CO_2 捕集量。生物源 CO_2 来自近期植物生长过程中吸收大气中的 CO_2 , 因此生物质制甲醇系统中碳的捕集可认为是间接从大气环境中捕集封存 CO_2 的过程。

3.1 CO_2 捕集率对生物质制甲醇能耗的影响

新增 CO_2 捕集模块一定程度增加了生物质制甲醇系统的能耗。捕集过程的有效能(㶲)耗随 CO_2 捕集率提

高而增加, 其中超过 70% 用于压缩液化 CO_2 。由图 4(a) 可知, 捕集单位 CO_2 的有效能耗随捕集率升高先减后增。60% CO_2 捕集率所需单位有效能耗为 489 MJ/t, 而 85% 捕集率时降至 453 MJ/t。原因是 CO_2 捕集总量分摊了单位捕集量的平均能耗, 从而效率提高。但 CO_2 捕集率超过 85% 时, 单位有效能耗逐渐上升。过高的 CO_2 捕集率导致 CO_2 解吸塔塔顶回流比、塔底再沸器温度及热负荷显著上升, 使有效能耗明显增加。从能源利用效益考虑, 85% CO_2 捕集率较佳, 可使捕集单位 CO_2 的有效能耗最低。图 4(b) 显示, 引入 CO_2 捕集模块导致生产甲醇的总有效能耗随 CO_2 捕集率提高而增加。其中 60% CO_2 捕集率时单位甲醇产品有效能耗增加 394 MJ/t, 而 85% CO_2 捕集率时甲醇有效能耗增加 518 MJ/t, 90% CO_2 捕集率时增加 555 MJ/t, 约相当于原生物质制甲醇过程能耗的 65%~90%。

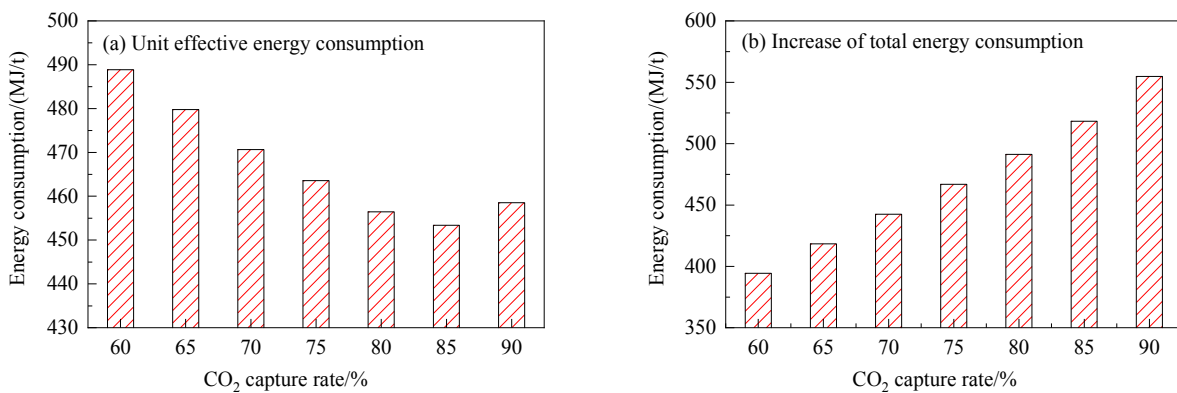


图 4 生物质制甲醇中不同 CO_2 捕集率所需的有效能耗
Fig.4 Energy consumption of CO_2 capture rate in biomass-to-methanol

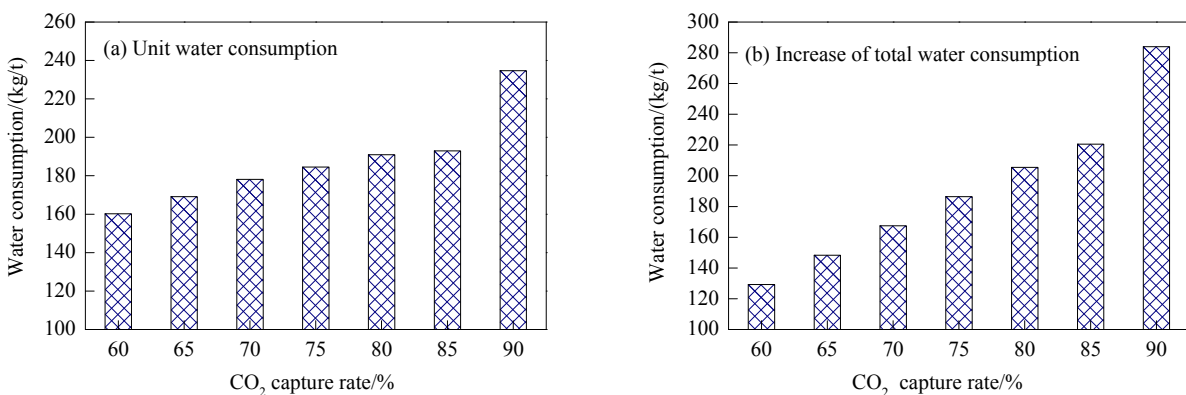


图 5 生物质制甲醇中不同 CO_2 捕集率所需的水耗
Fig.5 Water consumption of CO_2 capture rate in biomass-to-methanol

3.2 CO_2 捕集率对生物质制甲醇水耗的影响

生物质制甲醇系统集成 CO_2 捕集模块使系统循环冷却水增加, 导致相应的水耗增加。图 5(a) 显示, 捕集

单位 CO_2 所需水耗随捕集率提高而持续增加, 60% CO_2 捕集率所需单位水耗为 160 kg/t, 85% CO_2 捕集率所需单位水耗升至 193 kg/t。 CO_2 捕集率超过 85% 时, 单位

水耗明显增加,90% CO₂捕集率所需单位水耗达235 kg/t。原因是过高的CO₂捕集率导致CO₂解吸塔出料送往下游前降温冷却所需水量大幅增加。图5(b)显示,CO₂捕集模块导致甲醇生产总水耗随CO₂捕集率提高而增加。60% CO₂捕集率使单位甲醇产品水耗增加129 kg/t,85% CO₂捕集率使甲醇水耗增加221 kg/t,90% CO₂捕集率使单位甲醇水耗增加284 kg/t,但总体不超过原生物质制甲醇水耗的5%。

3.3 CO₂捕集率对生物质制甲醇成本的影响

生物质制甲醇系统捕集CO₂增加的成本取决于CO₂捕集率。图6(a)为单位CO₂捕集成本与捕集率的关系,由图可知,随捕集率升高,单位CO₂捕集成本先减少后增加。60% CO₂捕集率所需单位成本为142元/t,而85%捕集率仅需135元/t,原因是CO₂捕集总量增加分摊了

单位捕集量的平均成本。但CO₂捕集率超过85%时,由于能耗和水耗激增,单位成本逐渐上升,90%捕集率所需单位成本增至136元/t。因此,85% CO₂捕集率可使单位CO₂捕集成本最低。而这通过生物质制甲醇系统间接从大气中捕集CO₂的成本更是大大低于直接从大气中捕集CO₂^[1]。图6(b)为甲醇产品成本与CO₂捕集率的关系。由图可知,CO₂捕集封存导致甲醇产品成本随CO₂捕集率升高而增加,单位甲醇产品成本60% CO₂捕集率时增加115元/t,85% CO₂捕集率时增加154元/t甲醇,90% CO₂捕集率时增加164元/t,约相当于原生物质制甲醇成本的6%~10%。由于生物质制甲醇成本高于常规煤制甲醇(1700~1900元/t)^[13],因此CO₂捕集封存对系统的经济效益有较大影响,必须依靠政策性补贴改善,如碳税减免和碳排放权交易等。

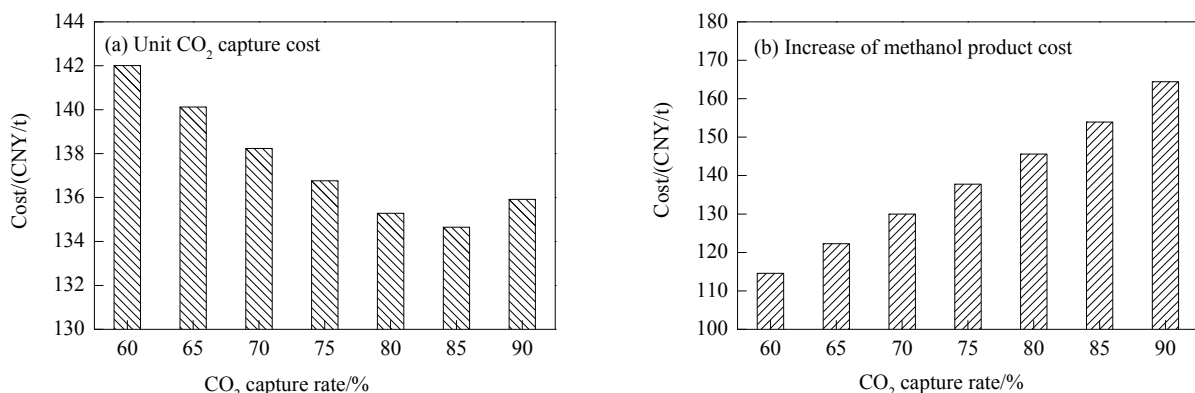


图6 生物质制甲醇中不同CO₂捕集率所需的成本
Fig.6 Cost of different CO₂ capture rates in biomass-to-methanol

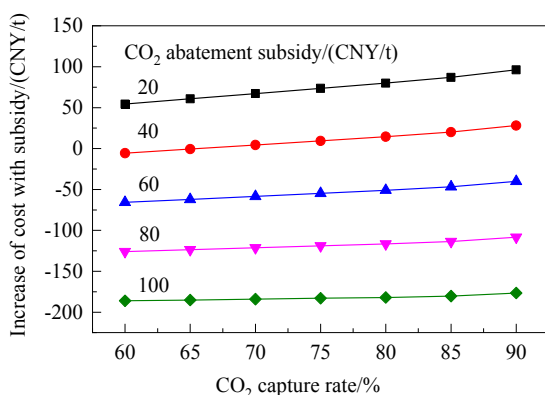


图7 CO₂捕集率及减排补贴对生物质制甲醇成本的影响
Fig.7 Effect of CO₂ capture rate and carbon abatement subsidy on the production cost of biomass-to-methanol

我国的碳减排补贴机制正在逐步建设中,目前碳排放权交易市场成交价格较低,约20~70元/t CO₂^[23,24]。生物质制甲醇由于原料的碳中性,具有过程零CO₂排放特点,加入CO₂捕集模块可进一步实现甲醇生产的CO₂负排放。根据国内甲醇产业(以煤制甲醇为主体)平均

CO₂排放量及不同CO₂减排补贴价格,CO₂捕集封存对生物质制甲醇成本的最终影响见图7。由图可见,减排补贴可极大地弥补CO₂捕集封存的额外成本。CO₂减排补贴价格为40~50元/t时,CO₂捕集封存几乎不增加生物质制甲醇的成本,而当CO₂减排补贴价格达100元/t时,甚至可使生物质制甲醇成本降至常规煤制甲醇的水平,同时具有经济竞争力和环境价值。

4 结论

对生物质制甲醇系统中CO₂的捕集工艺流程进行设计、模拟及技术经济性研究,得到如下结论:

(1) CO₂捕集率过高将导致系统能耗、水耗及成本等激增,而过低则使系统的捕集效率低下。

(2) 85% CO₂捕集率是较佳选择,可使单位CO₂捕集量的能耗及成本最低。其成本为135元/t,远低于直接从大气中捕集CO₂的成本。

(3) CO₂捕集封存将使甲醇的生产成本增加约6%~10%,但当CO₂减排补贴价格超过40~50元/t时,

可抵消该部分成本增量。

参考文献

- [1] 中华人民共和国科学技术部. 世界首座直接从大气中捕集二氧化碳装置在瑞士投入运行 [EB/OL]. (2017-6-26)/[2019-3-25]. http://www.most.gov.cn/gnwkjdt/201706/t20170626_133727.htm.
- [2] 蒋子龙, 姜博洋, 王金鹏, 等. 国内外甲醇市场分析及展望 [J]. 化学工业, 2017, 35(6): 29-34.
- [3] 柏锁柱. 天然气制甲醇竞争力分析及应用前景展望 [J]. 炼油与化工, 2017, 28(6): 7-9.
- [4] Bai S Z. Analysis of methanol production from natural gas and application prospect [J]. Refining and Chemical Industry, 2017, 28(6): 7-9.
- [5] Li C H, Bai H G, Lu Y Y, et al. Life-cycle assessment for coal-based methanol production in China [J]. Journal of Cleaner Production, 2018, 188: 1004-1017.
- [6] Qin Z, Zhai G F, Wu X M, et al. Carbon footprint evaluation of coal-to-methanol chain with the hierarchical attribution management and life cycle assessment [J]. Energy Conversion and Management, 2016, 124: 168-179.
- [7] 张媛媛, 王永刚, 田亚峻. 典型现代煤化工过程的二氧化碳排放比较 [J]. 化工进展, 2016, 35(12): 4060-4064.
- [8] Zhang Y Y, Wang Y G, Tian Y J. Comparative studies on carbon dioxide emissions of typical modern coal chemical processes [J]. Chemical Industry and Engineering Progress, 2016, 35(12): 4060-4064.
- [9] Liu Z L, Peng W X, Motahari-Nezhad M, et al. Circulating fluidized bed gasification of biomass for flexible end-use of syngas: a micro and nano scale study for production of bio-methanol [J]. Journal of Cleaner Production, 2016, 129: 249-255.
- [10] Carvalho L, Furusjö E, Kirtania K, et al. Techno-economic assessment of catalytic gasification of biomass powders for methanol production [J]. Bioresource Technology, 2017, 237(S1): 167-177.
- [11] 蔡亚庆, 仇焕广, 徐志刚. 中国各区域秸秆资源可能能源化利用的潜力分析 [J]. 自然资源学报, 2011, 26(10): 1637-1646.
- [12] Cai Y Q, Qiu H G, Xu Z G. Evaluation on potentials of energy utilization of crop residual resources in different regions of China [J]. Journal of Natural Resources, 2011, 26(10): 1637-1646.
- [13] 陆强, 赵雪冰, 郑宗明. 液体生物燃料技术与工程 [M]. 上海: 上海科学技术出版社, 2013: 4-9.
- [14] Lu Q, Zhao X B, Zheng Z M. Technology and engineering for liquid biofuels [M]. Shanghai: Shanghai Scientific & Technical Publishers, 2013: 4-9.
- [15] Shi Z L, Li X, Wang J C, et al. The spatial distribution characteristics and utilization model of crop straw in China [J]. China Population, Resources and Environment, 2018, 28(7): 202-205.
- [16] Peduzzi E, Tock L, Boissonnet G, et al. Thermo-economic evaluation and optimization of the thermo-chemical conversion of biomass into methanol [J]. Energy, 2013, 58: 9-16.
- [17] Yang S Y, Li B X, Zheng J W, et al. Biomass-to-methanol by dual-stage entrained flow gasification: design and techno-economic analysis based on system modeling [J]. Journal of Cleaner Production, 2018, 205: 364-374.
- [18] 潘贤齐, 苏德仁, 周肇秋, 等. 生物质流化床气化中试实验研究 [J]. 农业机械学报, 2014, 45(10): 175-179.
- [19] Pan X Q, Su D R, Zhou Z Q, et al. Experimental investigation of biomass gasification in a pilot-scale fluidized bed gasifier [J]. Transactions of the Chinese Society of Agricultural Machinery, 2014, 45(10): 175-179.
- [20] Jiang Y, Bhattacharyya D. Process modeling of direct coal-biomass to liquids (CBTL) plants with shale gas utilization and CO₂ capture and storage (CCS) [J]. Applied Energy, 2016, 183: 1616-1632.
- [21] Liu X, Yang S Y, Hu Z G, et al. Simulation and assessment of an integrated acid gas removal process with higher CO₂ capture rate [J]. Computers and Chemical Engineering, 2015, 83: 48-57.
- [22] Gatti M, Martelli E, Marechal F, et al. Review, modeling, heat integration, and improved schemes of Rectisol-based processes for CO₂ capture [J]. Applied Thermal Engineering, 2014, 70(2): 1123-1140.
- [23] Porter R T J, Fairweather M, Kolster C, et al. Cost and performance of some carbon capture technology options for producing different quality CO₂ product streams [J]. International Journal of Greenhouse Gas Control, 2017, 57: 185-195.
- [24] Gao H X, Zhou L P, Luo X, et al. Optimized process configuration for CO₂ recovery from crude synthesis gas via a rectisol wash process [J]. International Journal of Greenhouse Gas Control, 2018, 79: 83-90.
- [25] Blades T, Rudloff M, Schulze O. Sustainable SunFuel from CHOREN's Carbo-V® process [EB/OL]. (2010-9-8)/[2018-1-4]. <http://www.choren.com>.
- [26] ASPEN Technology, INC. Aspen Plus V8.4 [EB/OL]. (2012-6-15)/[2018-12-5]. <http://www.aspentechn.com>.
- [27] 刘佳佳, 赵东亚, 田群宏, 等. CO₂捕集、运输、驱油与封存全流程建模与优化 [J]. 油气田地面工程, 2018, 37(10): 1-5.
- [28] Liu J J, Zhao D Y, Tian Q H, et al. Modeling and optimization of the whole process of CO₂ capture, transportation, oil displacement and storage [J]. Oil-Gas Field Surface Engineering, 2018, 37(10): 1-5.
- [29] 王穗子, 刘帅, 樊江文, 等. 碳交易市场现状及草地碳汇潜力研究 [J]. 草业学报, 2018, 27(6): 177-187.
- [30] Wang S Z, Liu S, Fan J W, et al. Research on the current situation of carbon trading markets and the potential of grassland carbon sinks [J]. Acta Prataculturae Sinica, 2018, 27(6): 177-187.
- [31] Slater H, De Boer D, 王庶, 等. 2018年中国碳价调查 [R]. 北京: ICF 国际咨询公司, 2018: 3-9.
- [32] Slater H, De Boer D, Wang S, et al. Survey of China carbon trading prices in 2018 [R]. Beijing: ICF International, Inc., 2018: 3-9.